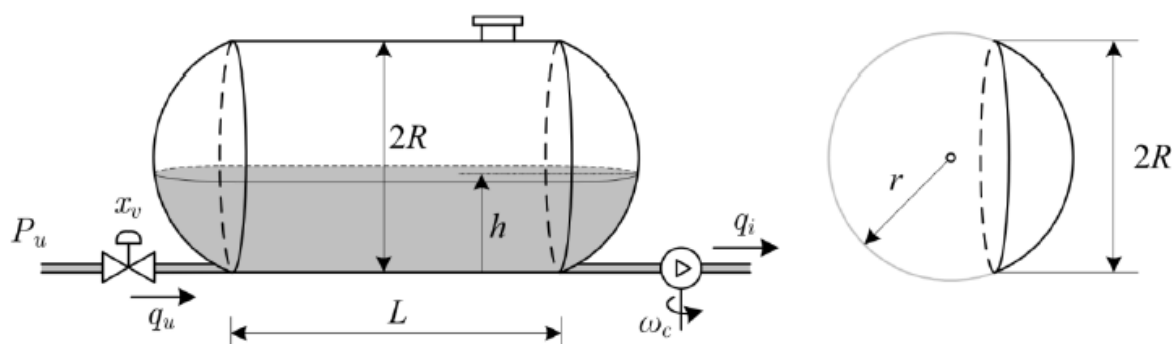


River Song 10634	FAKULTET ELEKTROTEHNIKE I RAČUNARSTVA Zavod za automatiku i računalno inženjerstvo	16.11.2016.
	Modeliranje i simuliranje sustava	
	4. DOMAĆA ZADAĆA	

Zadan je proces skladištenja tekućine prikazan slikom 1.



Slika 1: Proces skladištenja tekućine

Tlak  $P_u$  predstavlja nadtlak prema atmosferskom tlaku, gubici u cijevima su zanemarivi, brzina tekućine u spremnicima zanemariva je u odnosu na brzinu tekućine u cijevima. Sva strujanja su laminarna.

Spremnik se sastoji od tri elementa: središnjeg u obliku cilindra duljine  $L = 10$  m, polumjera  $R = 3$  m, te rubnih dijelova u obliku kuglinog odsječka, pripadnog polumera kugle  $r = 8$  m. Na vrhu spremnika otvor je za prozračivanje tako da je tlak zraka u spremniku iznad tekućine jednak atmosferskom.

Radna točka određena je ulaznim veličinama tlaka, otvora ventila i brzine vrtnje crpke  $P_{u0} = 1$  bar,  $X_{v0} = 5$  cm,  $\Omega_{c0} = 170$  okr/min. Zadane su još konstanta ventila  $K_v = 0.04$  m<sup>3</sup>/(cm min Pa<sup>1/2</sup>) i konstanta crpke  $K_c = 0.05$  m<sup>3</sup> te  $g = 9.81$  m/s<sup>2</sup> i  $\rho = 1000$  kg/m<sup>3</sup>.

## 1) Odrediti nelinearni matematički model procesa.

Ulazi u model su otvorenost ventila  $x_v$ , nadtlak  $P_u$  i brzina crpke  $\omega_c$ . Pretpostavlja se da tekućina uvijek struji od ulaza prema izlazu, te da će visina tekućine u spremniku  $h$  uvijek biti u intervalu  $[0, 2R]$ .

Kod određivanja matematičkog modela procesa skladištenja tekućine kreće se od jednadžbe dinamičke ravnoteže volumena fluida u spremniku:

$$\frac{dV}{dt} = \sum_i Q_i = q_u - q_i$$

Volumen u ovisnosti o visini općenito se računa kao:

$$V(h) = \int_0^h A(h) dh$$

Naš spremnik je kombinacija cilindra i dva jednaka kuglina odsječka sa svake strane, odnosno:

$$V = V_{cilindra} + 2V_{odsječka}$$

Za ventil vrijedi:

$$q_u = K_v x_v \sqrt{P_u - \rho g h}$$

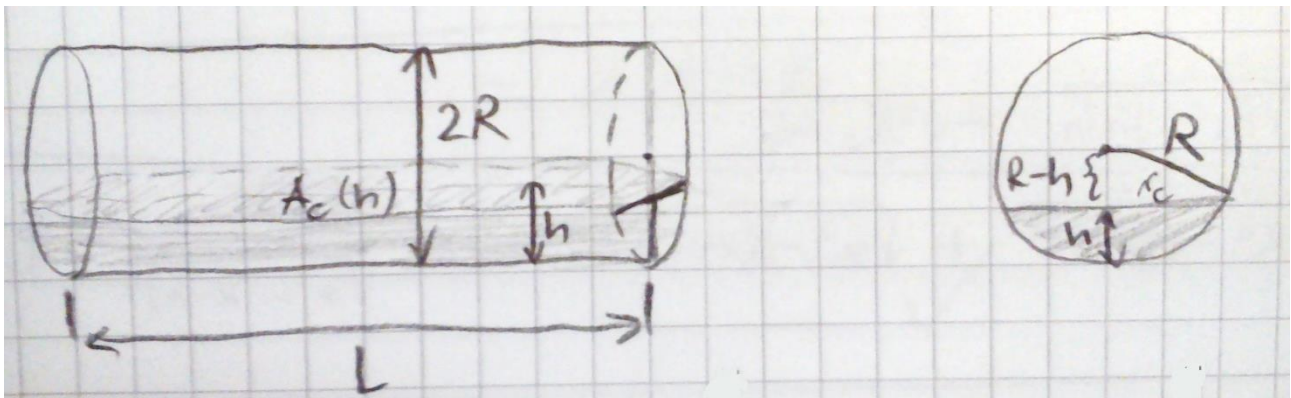
dok za pumpu vrijedi:

$$q_i = K_c \omega_c$$

Potrebno je odrediti volumene cilindričnog i kuglastog dijela spremnika, odnosno njihove presjke ovisne o visini:

$$\frac{dV}{dh} = A(h)$$

CILINDRIČNI DIO:

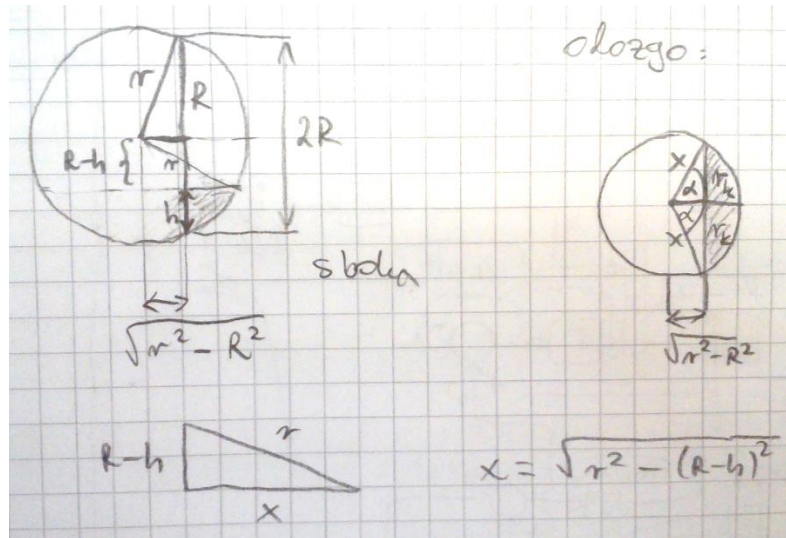


Slika 2: Određivanje površine presjeka cilindra

Iz slike 2 se lako dobije:

$$\frac{dV_{cilindra}}{dh} = A_c(h) = L * 2 * \sqrt{R^2 - (R - h)^2}$$

KUGLIN ODSJEČAK:



Slika 3: Određivanje površine presjeka kuglinih odsječaka.

Iz geometrije sa slike 3 dobije se:

$$\frac{dV_{odsječka}}{dh} = A_k(h) = \alpha \sqrt{r^2 - (R - h)^2} - \sqrt{r^2 - R^2} \sqrt{2Rh - h^2}$$

$$\cos \alpha = \frac{\sqrt{r^2 - R^2}}{\sqrt{r^2 - (R - h)^2}}$$

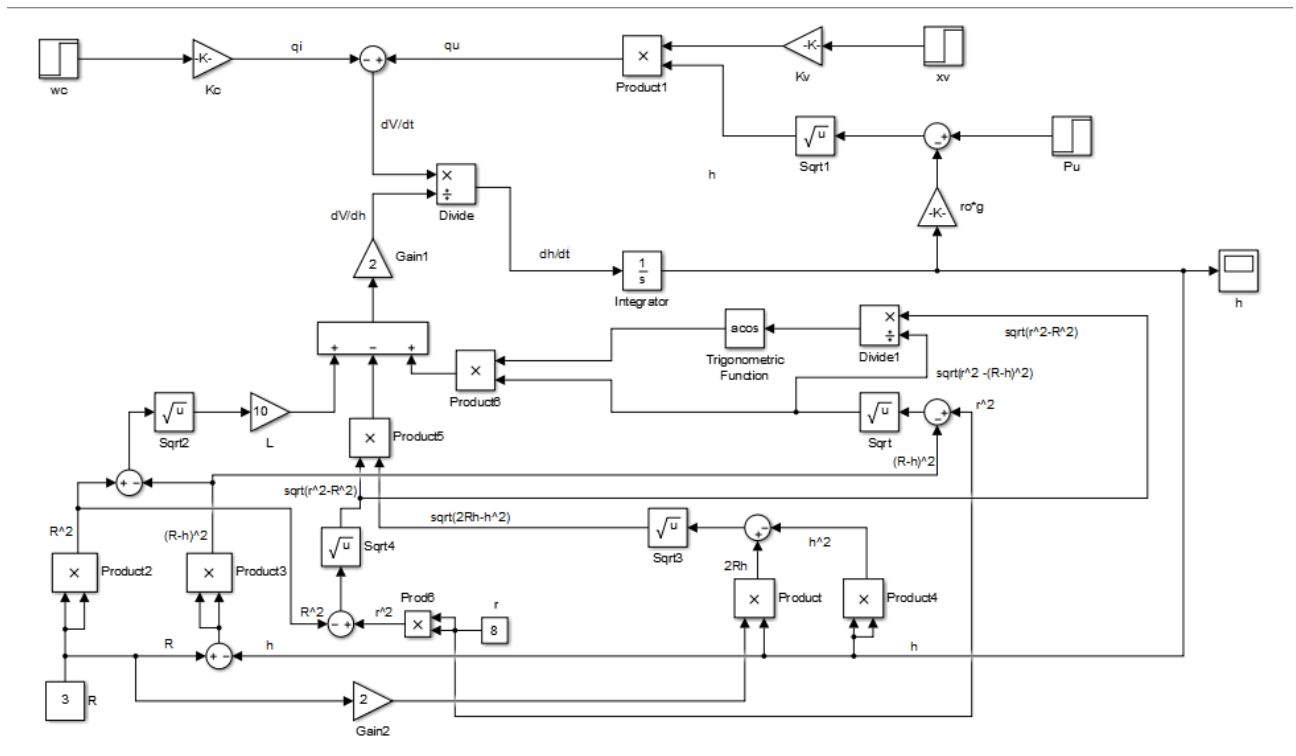
$$A_k(h) = \sqrt{r^2 - (R - h)^2} * \arccos \frac{\sqrt{r^2 - R^2}}{\sqrt{r^2 - (R - h)^2}} - \sqrt{r^2 - R^2} \sqrt{2Rh - h^2}$$

Konačno za visinu h slijedi:

$$\frac{dh}{dt} = \frac{\frac{dV}{dt}}{\frac{dV}{dh}} = \frac{q_u - q_i}{A_c(h) + 2A_k(h)}$$

$$\frac{dh}{dt} = \frac{K_v x_v \sqrt{P_u - \rho g h} - K_c \omega_c}{2 * (L \sqrt{R^2 - (R - h)^2} + \sqrt{r^2 - (R - h)^2} * \arccos \frac{\sqrt{r^2 - R^2}}{\sqrt{r^2 - (R - h)^2}} - \sqrt{r^2 - R^2} \sqrt{2Rh - h^2})}$$

## 2) Nelinearna blokovska shema procesa u Matlabu



Slika 4: Shema nelinearnog modela u Simulinku.

3) Izračunati iznose volumnih protoka  $Q_{u0}$  i  $Q_{i0}$  te visine tekućine  $H_0$  u radnoj točki

$$\frac{dh}{dt} = 0 \rightarrow K_v X_{v0} \sqrt{P_{u0} - \rho g H_0} = K_c \Omega_{c0}$$

$$H_0 = \frac{1}{\rho g} \left( P_{u0} - \left( \frac{K_c \Omega_{c0}}{K_v X_{v0}} \right)^2 \right)$$

$$H_0 = 2.9248 \text{ m}$$

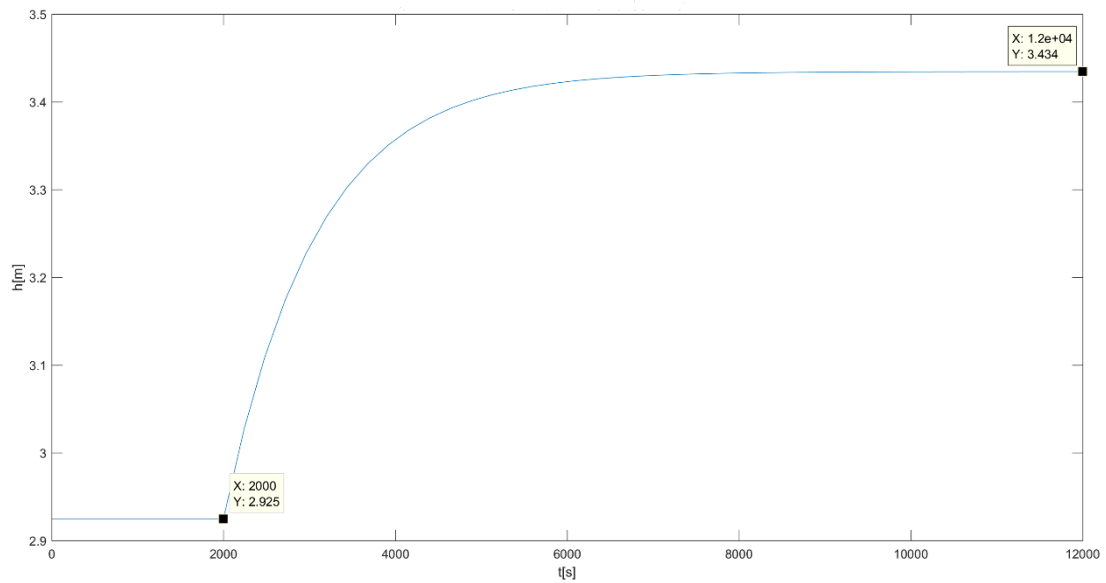
$$Q_{u0} = K_v X_{v0} \sqrt{P_{u0} - \rho g H_0}$$

$$Q_{u0} = 0.8901 \text{ m}^3/\text{s}$$

$$Q_{i0} = K_c \Omega_{c0}$$

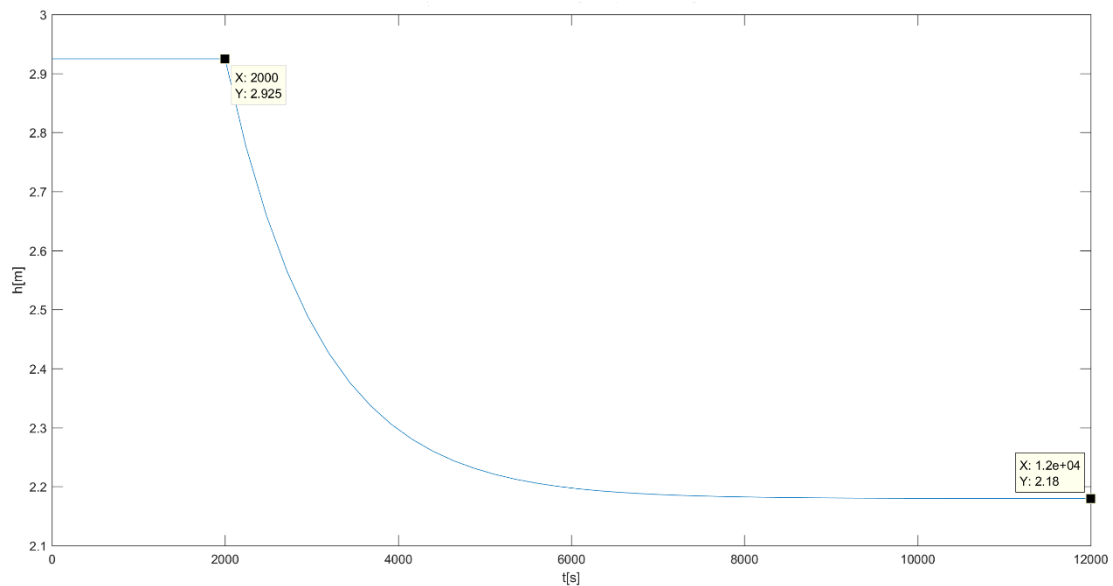
$$Q_{i0} = 0.8901 \text{ m}^3/\text{s}$$

4) Simulirati model procesa za promjenu ulaznih veličina iz radne točke za +5% (za svaki ulaz posebno)



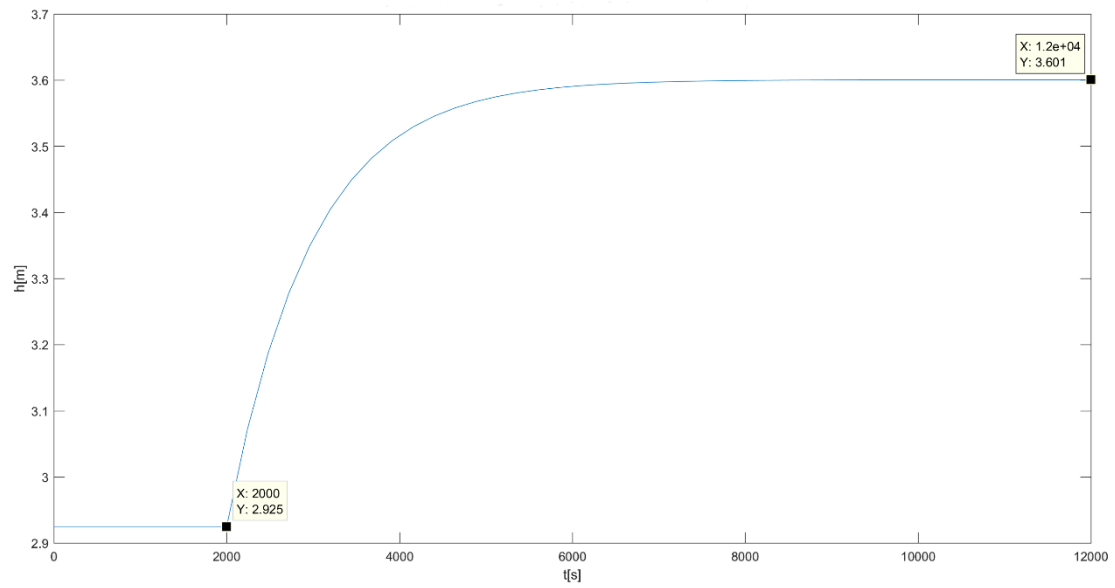
Slika 5: Visina uz povećanje nadtlaka  $P_u$  za 5% u odnosu na radnu točku

Povećanjem nadtlaka, visina tekućine u spremniku raste.



Slika 6: Visina uz povećanje brzine crpke za 5% u odnosu na radnu točku

Povećanjem brzine crpke, tekućina se brže odvodi iz spremnika te se visina smanjuje.



Slika 7: Visina uz povećanje otvora ventila za 5% u odnosu na radnu točku

Povećanjem otvora ventila visina tekućine u spremniku se povećava.

5) Odrediti linearni model procesa u prostoru stanja za zadanu radnu točku

$$\frac{dh}{dt} = f(h, \omega_c, x_v, P_u)$$

$$\text{Ustaljeno stanje: } \frac{dh}{dt} = 0 \rightarrow f(H_0, \Omega_{c0}, X_{v0}, P_{u0}) = 0$$

$$\text{Perturbacije (općenito): } \Delta u = u - u_0, \quad \dot{\Delta u} = \dot{u}$$

$$\Delta \dot{h} = \left( \frac{\partial f}{\partial h} \right)_0 * \Delta h + \left( \frac{\partial f}{\partial \omega_c} \right)_0 * \Delta \omega_c + \left( \frac{\partial f}{\partial x_v} \right)_0 * \Delta x_v + \left( \frac{\partial f}{\partial P_u} \right)_0 * \Delta P_u$$

Pomoću funkcije linmod:

$$[A,B,C,D] = \text{linmod('shema')}$$

$$A = [-9.4659e^{-04}]$$

$$B = [-8.0945e^{-05} \quad 0.0028 \quad 9.6493e^{-08}]$$

$$C = [1]$$

$$D = [0 \ 0 \ 0]$$

$$[\dot{\Delta h}] = [-9.4659e^{-04}] * \Delta h + [-8.0945e^{-05} \quad 0.0028 \quad 9.6493e^{-08}] \begin{bmatrix} \Delta \omega_c \\ \Delta x_v \\ \Delta P_u \end{bmatrix}$$

$$[\Delta h] = [1]\Delta h + [0 \quad 0 \quad 0] \begin{bmatrix} \Delta \omega_c \\ \Delta x_v \\ \Delta P_u \end{bmatrix}$$

## 6) Odrediti prijenosne funkcije pomoću Matlab

$$[num1 \ den1] = ss2tf(A, B, C, D, 2);$$

$$G1 = tf(num1, den1)$$

$$G_1(s) = \frac{\Delta H(s)}{\Delta X_v(s)} = \frac{0.002752}{s + 0.0009466}$$

$$[num2 \ den2] = ss2tf(A, B, C, D, 3);$$

$$G2 = tf(num2, den2)$$

$$G_2(s) = \frac{\Delta H(s)}{\Delta P_u(s)} = \frac{9.6493e^{-08}}{s + 0.0009466}$$

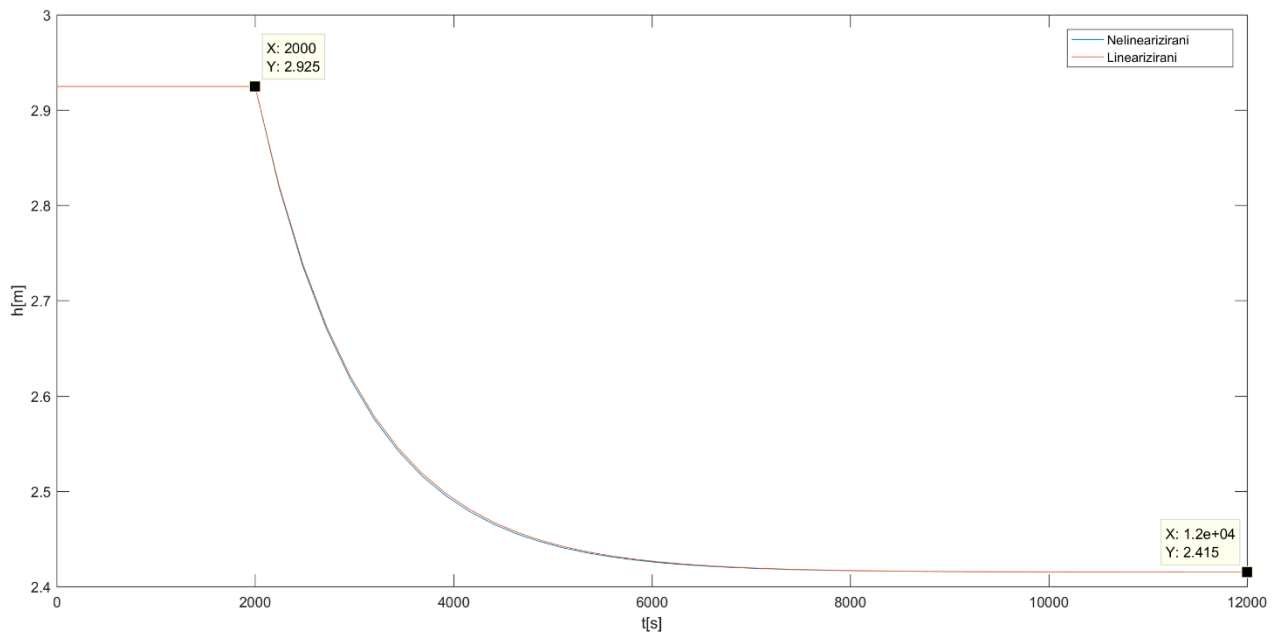
$$[num3 \ den3] = ss2tf(A, B, C, D, 1);$$

$$G3 = tf(num3, den3)$$

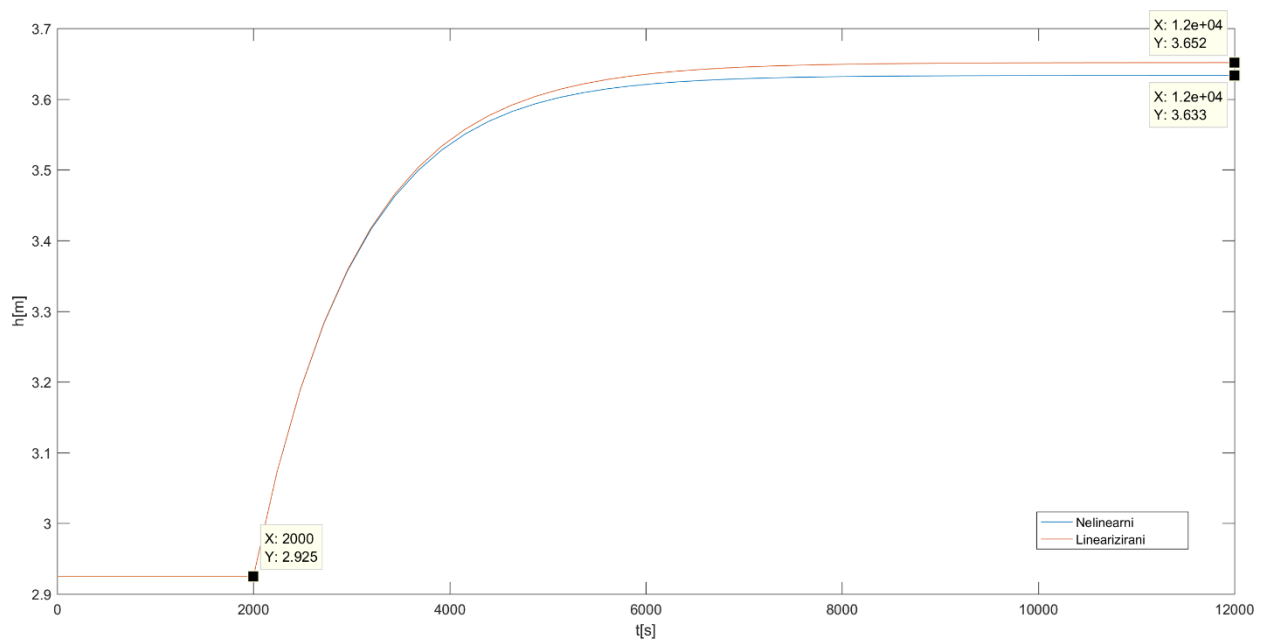
$$G_3(s) = \frac{\Delta H(s)}{\Delta \Omega_c(s)} = \frac{-8.0949e^{-05}}{s + 0.0009466}$$



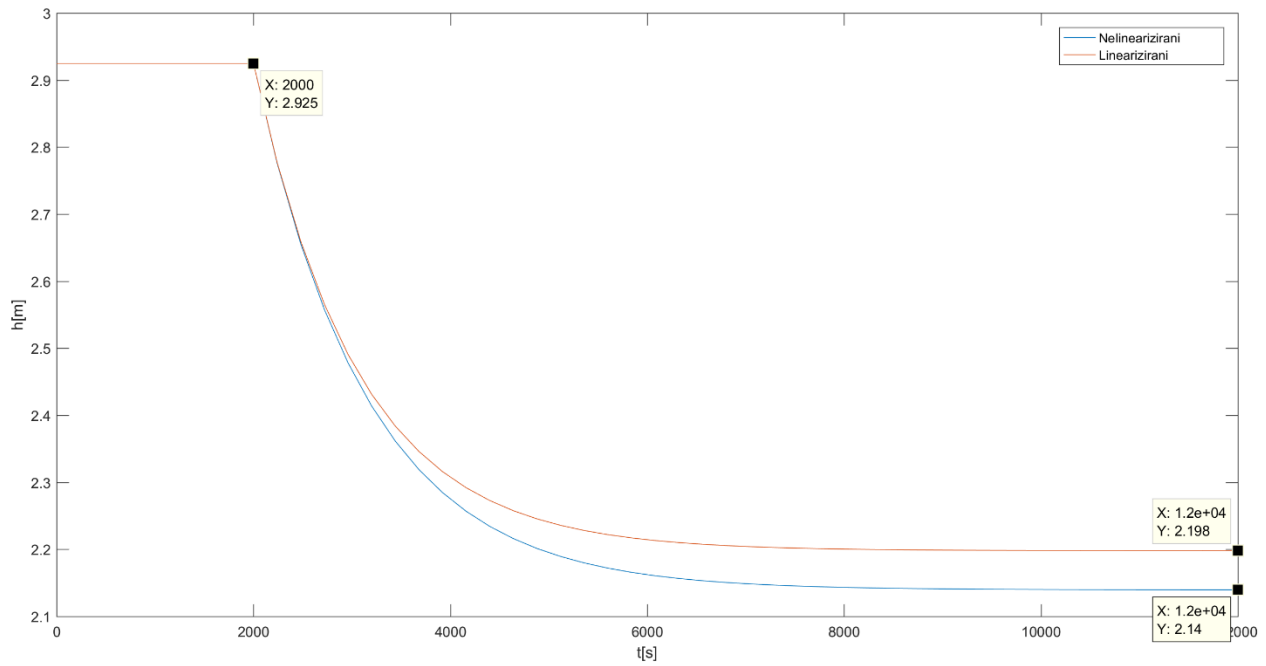
7) Usporedba odziva visine  $h$  nelinearnog modela i linearnog u zadanoj radnoj točki pri promjeni ulaznih veličina za  $-5\%$



Slika 8: Usporedba odziva nelinearnog modela i lineariziranog modela za smanjenje nadtlaka  $P_u$  za 5%



Slika 9: Usporedba nelinearnog i lineariziranog modela za smanjenje brzine crpke za 5%



Slika 10: Usporedba nelinearnog i lineariziranog modela za smanjenje otvora ventila za 5%

Na slikama od 8 do 10 vidimo da udaljavanjem od radne točke linearizirani model slabije prati stvarni odziv nelinearnog sustava.